

京都大学防災研究所 正員 下島栄一, 石原安雄  
岡山県 正員 時松昌則

(1)はじめに: 下端が閉じた浸透場に湛水浸透が生起する場合、場の間隙空気は浸透水と自由に交換できず一時的に閉塞状態となり、ある程度時間が経てから、閉塞された空気の一部は浸透面を通して交換が可能とは、つまり、外界に放出されるといった間歇的あるいは連続的現象を呈する。この空気の放出過程は、場が一律の場合、浸透面直下で形成される水分の非常に大きな領域(これを擬似飽和域とよぶ)で決定されると言えらる。そこで、本文では擬似飽和域内の水・空気の運動機構を考察することにより、空気閉塞を伴う浸透現象の解明を試みたものである。

(2)実験方法: 内径 18.5 cm、長さ 100~150 cm 程度の底部を開いた円筒に乾燥状態の砂を入れて単一砂柱を作り、これを上部より給水して終始一定の湛水深( $P_{w0}$ )で実験を行った。実験砂はやや平均粒径 0.15, 0.23 mm のほぼ均一粒径の K-7 砂および K-6 砂を用いた。なお、空気圧( $P_{aL}$ )の計測は円筒下端で行った。

(3)擬似飽和域での運動機構の仮定: 間歇的・連続的な空気の放出を伴う一連の浸透現象を連続現象とみなす立場をとると、擬似飽和域内の空気の移動は対称で、間歇的な空気放出の限界状態で成立する式の釣合式の analogy 的表現として、 $P_{a1} = (1-\alpha)X_1 + (P_{w0} - \chi_1 - \beta)$  …① が仮定できる。 $\alpha = 1$ ,  $X_1$ ,  $P_{w0}$ ,  $P_{a1}$ ,  $\chi_1$ ; これら擬似飽和域の長さ、 $\chi_1$  の上端の水压、下端の空気圧および毛管管内圧、 $\alpha$ ,  $\beta$ : 定数。つぎに、浸透水の移動が Darcy 則の表現できるなら、 $-M = R \cdot (1 - \frac{P_{a1} - P_{w0}}{X_1})$  …② となる。 $\alpha = 1$ ,  $-M$ : 浸透強度、 $R$ : この領域の不飽和透水係数に対する定数、 $P_{w0}$ ; この領域の下端での水压。なお、 $P_{w1} = P_{a1} + \chi_1$  …③ と分解できる。 $\alpha = 1$ , 式②に式①, ③を代入すると  $-M = \alpha R \cdot (1 + \frac{P_{w0}}{X_1})$  …④ となる。仮定式①, ④が擬似飽和域での基本式となる。 $\alpha = 1$  で、この基本式の妥当性を直接に実験結果を用いて検討することは計測の精度の割合で困難であるので、昨年報告した擬似飽和域の下部に連なる不飽和域と対応して誘導して近似解とこの仮定式と組合せて計算を行へ、その結果と実験結果との比較より間接的妥当性を検討するところである。

(4)計算における基礎式: 不飽和域では水空気に対して一般化された Darcy 則と連続の式が成立するので、この運動式と連続式および空気は等温変化する理想気体と仮定した状態方程式よりなる基本式系を、初期条件:  $t=0$  で  $\theta(\alpha) = 0$ ,  $P_a(\alpha) = 0$ , 境界条件:  $X=X_1(t)$  で  $\theta=\theta_1=\text{const}$ ,  $[D\frac{\partial \theta}{\partial X} - K(1 - \frac{\partial \theta}{\partial X})] = M(t)$ , また  $X=L$  で  $[D\frac{\partial \theta}{\partial X} - K(1 - \frac{\partial \theta}{\partial X})] = 0$ ,  $[K_a(\frac{\partial \theta}{\partial X} - \frac{P_w}{P_{w0}})] = 0$  のもとで差し、近似解を既報で与えた。 $\alpha = 1$ ,  $\theta$ : 体積含水比、 $D$ : 水の拡散係数、 $K$ : 不飽和透水係数、 $K_a$ : 透気係数、 $P_a$ : 大気圧からの增加空気圧、 $P_w$ : 空気・水の密度、 $L$ : 頭厚、 $t$ : 時間、 $X$ : 断層の表面を  $X=0$  とし重力方向を正とする座標。この結果を再記すと、

$$\text{水分の分布形状: } X(B, t) = X_1 - \int_0^B \frac{\theta(1-A)}{K(1-A) - \theta \frac{\partial \theta}{\partial B} + (H + B \frac{\partial H}{\partial B}) \frac{B_2(B)}{B_2(B_1)}} dB \quad \dots \text{⑤}$$

$$\text{浸透強度: } -\frac{dM}{dt} = [M + B \frac{\partial M}{\partial t} + \int_0^B \frac{\theta(1-A)}{K(1-A) - \theta \frac{\partial \theta}{\partial B}} \frac{(B_2(B) - B_1)}{B_2(B)} dB] / \left[ \int_0^B \frac{\theta(1-A)}{K(1-A) - \theta \frac{\partial \theta}{\partial B}} \left( \frac{B_2(B)}{B_2(B_1)} + Z(H + B \frac{\partial H}{\partial B}) \frac{B_2(B)}{B_2(B_1)} + Z(H + B \frac{\partial H}{\partial B}) \left( \frac{B_2(B)}{B_2(B_1)} - \frac{B_1}{B_2(B_1)} \right) \right) dB \right] \quad \dots \text{⑥}$$

$$\text{空気圧の分布形状: } P_a(B, t) = P_a(B_1, t) + \int_0^B \frac{\theta(1-A)D}{K} dB - \int_0^B \frac{\theta(1-A)D}{K(1-A) - \theta \frac{\partial \theta}{\partial B} + (H + B \frac{\partial H}{\partial B}) \frac{B_2(B)}{B_2(B_1)}} dB \quad \dots \text{⑦}$$

$\alpha = 1$ ,  $A = K/(K+K_a)$ ,  $B_2(B) = \int_0^B \frac{\theta(1-A)}{K(1-A) - \theta \frac{\partial \theta}{\partial B} + (H + B \frac{\partial H}{\partial B}) \frac{B_2(B)}{B_2(B_1)}} dB$ ,  $B_2(B_1) = \int_0^{B_1} \frac{\theta(1-A)}{K(1-A) - \theta \frac{\partial \theta}{\partial B} + (H + B \frac{\partial H}{\partial B}) \frac{B_2(B)}{B_2(B_1)}} dB$ ,  $Y = (K(1-A) - \theta \frac{\partial \theta}{\partial B} + (H + B \frac{\partial H}{\partial B}) \frac{B_2(B)}{B_2(B_1)})$  となる。 $\alpha = 1$ , 式⑥の  $dM/dt$ ,  $\frac{\partial M}{\partial t}$  を式④を代入すると  $-M(t)$  は  $\alpha$  の常微分方程式がえられるので、 $\alpha = 1$  で解くと  $-M(t)$  が求まり、また、この  $-M(t)$  を式④に代入すると  $X_1(t)$  が決まる。さらには、この  $-M(t)$ ,  $X_1(t)$  を式⑤および式⑦も考慮した式⑦に用へると、 $\alpha = 1$  で  $X(B, t)$ ,  $P_a(B, t)$  が決定されることがわかる。

(5)擬似飽和域での諸定数: 計算を行なうに当り  $\alpha$ ,  $\rho$ ,  $R$ ,  $\chi_1$ ,  $P_{w0}$  の諸定数を決定する必要がある。擬似飽和域  $\chi_1$  の発達を正確に追跡できないが、たとえば、 $\theta_1$  より若干小さければ一定の水分量  $\theta'_1$  を注目し、その移動の様子を K-7 砂の場合について調べたものが図-1 である。この図より、 $\theta'_1$  は時間とともにほぼ一定の値に漸近する様子が判るが、

$\theta_1 < \theta_1'$  であるので、 $\theta_1$  は  $\theta_1'$  と同様な変化で発達する = ヒガ  
予想できます。 $\beta = 3^\circ$ 、浸透  
強度は後述の図3, 5より判明  
ように大略時間とともに減少  
していきが、この場合、浸透

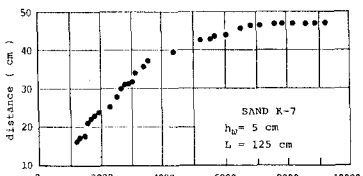


図-1.  $\theta_1$  の移動の様子

がある程度進んだ際には、近似的に  $-M \approx (\theta_1 - \theta_c) \frac{d\theta_1}{dt} + \frac{\partial \theta}{\partial t} K_f(1-A*) \dots (8)$  が成立する。 $= F$ 、 $\theta_c : K_f(1-A)$  が最大値となるθの値、 $\theta_k : \frac{\partial \theta}{\partial t} \approx 0$  となるθの値、 $K_f(1-A*)$ ； $\theta = \theta_k$  の  $K_f(1-A)$  の値。 $\gamma = 2$ 、式(8)を式(4)と等しくおくと、 $\frac{d\theta_1}{dt} \approx -\frac{\partial \theta}{\partial t} K_f(1-A*) + R(K_f + \frac{\partial \theta}{\partial t}) / (\theta_1 - \theta_c) \dots (9)$  となる。それゆえ、式(4)に対し  $d(-M)/dt \leq 0$ 、 $\alpha < 1$  の関係を用いると、 $\beta > 0$  となり、また、 $t \rightarrow \infty$  时  $\frac{d\theta_1}{dt} \rightarrow 0$  であるので、 $\alpha$  の値は式(9)より  $\alpha < \frac{R}{\theta_k} \frac{K_f(1-A)}{R} \dots (10)$  と少なくてとも満たすことはある。さて、 $\theta_k = \theta_c$  と仮定するので、 $\theta_c/\theta_k = 1$  として式(10)の右辺を概略計算すれば、K-7砂、K-6砂ではそれぞれ 0.45, 0.40 程度となる。実際  $\theta_1$  の発達の様子を数値計算した例が図-2である。この図はK-7砂の場合であり、 $\theta_1$  の値を90%飽和程度の0.41、 $R$  は飽和透水係数の  $6.5 \times 10^{-3}$  cm/sec、また、 $t=0$  时  $-M = 1 \times 10^{-3}$  cm/sec として、 $\alpha$ 、 $\beta$  の値を変えたものである。 $= F$  で採用した  $\alpha$  の範囲での  $\theta_1$  の発達は、 $\beta$  の値によらず、 $\theta_1$  は類似のものがあり、図-1との比較検討から前もって  $\alpha$  の値を決定すべきだが、たゞ、 $\alpha < 1$  次近似的な意味でK-7砂、K-6砂とも  $\alpha = 0.3$ 、 $\beta > 0$  を用いる。つぎに、 $\theta_{1/2}$  はほぼ湛水深が対応するので  $\theta_{1/2} = h_w$  となる。また、 $\theta_1$  の値は実験時の air entry value ( $a_e$ ) と大略に対応するが、 $a_e = 1/a$  となる。

(b) 実験値と計算値との比較：以上の諸定数を用いて計算したもののが図3～6である。図3、図4はK-7砂の場合で、图5～6は浸透強度と空気圧の時間変化および  $\theta_{1/2} = 0.205$  で代表させた wetting front の移動の様子を示す。一す、図5、図6はK-6砂の場合で、图3～4に對応する。なお、計算では実験での浸透強度がK-7砂、K-6砂に對してそれぞれ  $1 \times 10^{-3}$ 、 $4 \times 10^{-2}$  cm/sec となる時間を時間原点にとった。これらの諸図において計算値は実験値とほぼ一致しており、このことより、擬似飽和域での水の運動は式(4)で表現でき、空気はつねに式(1)

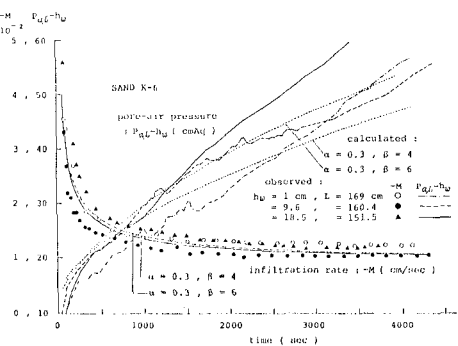


図-5. 浸透強度と空気圧の時間変化

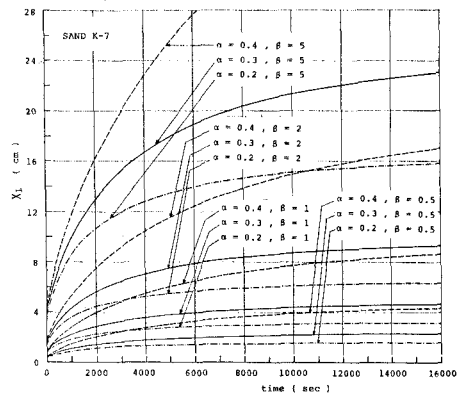


図-2. 擬似飽和域の発達の様子

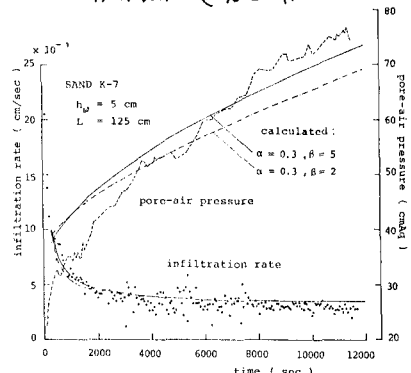


図-3. 浸透強度と空気圧の時間変化

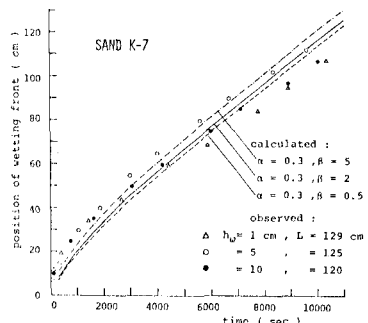


図-4. wetting front の移動

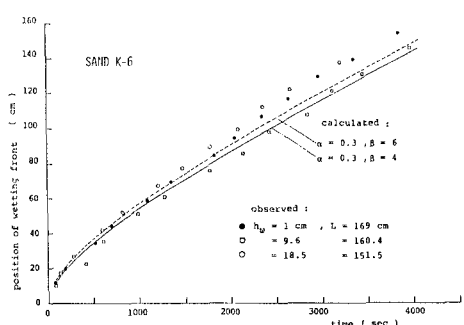


図-6. wetting front の移動

#### <参考文献>

- 1) 石原・下島・吉谷：  
土壤，1978
- 2) 石原・吉谷：東大実験  
報告，1978